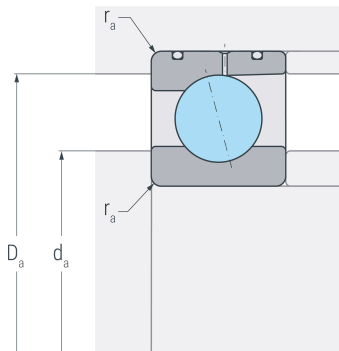
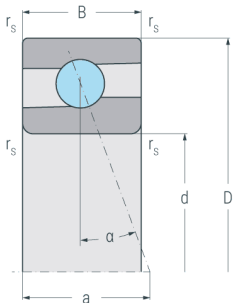
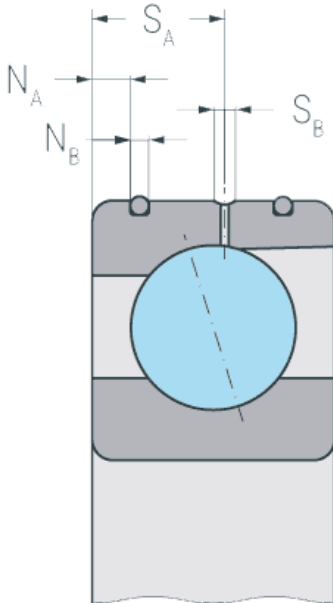


XC7014C.DLR.T.P4S

Hochgeschwindigkeits-Hybridspindellager, angestellt, paar- oder satzweise, Druckwinkel 15°, eine Schmierille mit zwei Schmierbohrungen, zwei Ringnuten mit O-Ringen, Hartgewebekäfig, eingengte Toleranzen, Ringe aus Cronidur® 30, Wälzkörper aus Siliziumnitrid



Abmessungen

| | | | |
|--------------------------|------|-----|-------------------------|
| d | (mm) | 70 | Bohrungsdurchmesser |
| D | (mm) | 110 | Außendurchmesser |
| B | (mm) | 20 | Breite |
| a | (mm) | 22 | Stützweite |
| r_{s min} | (mm) | 1.1 | minimaler Kantenabstand |

Druckwinkel

| | | | |
|----------|-----|----|-------------|
| α | (°) | 15 | Druckwinkel |
|----------|-----|----|-------------|

DLR-Abmessung

| | | | |
|----------------------|------|------|-------------------------|
| N_B | (mm) | 1.8 | Breite der Nut |
| N_A | (mm) | 4 | Abstand der Nut |
| S_B | (mm) | 1.6 | Breite der Schmierille |
| S_A | (mm) | 11.6 | Abstand der Schmierille |

Anschlussmaße

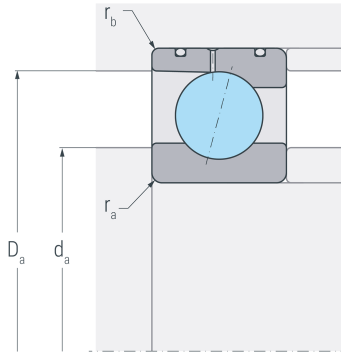
| | | | |
|--------------------------|------|-----|---------------------------------|
| d_{a h12} | (mm) | 77 | Durchmesser der Wellenschulter |
| D_{a H12} | (mm) | 102 | Durchmesser der Gehäuseschulter |
| r_{a max} | (mm) | 1 | maximaler Rundungsradius |

Gewicht

| | | | |
|-----------|--|-------|---------|
| kg | | 0.636 | Gewicht |
|-----------|--|-------|---------|

XC7014C.DLR.T.P4S

Hochgeschwindigkeits-Hybridspindellager, angestellt, paar- oder satzweise, Druckwinkel 15°, eine Schmierille mit zwei Schmierbohrungen, zwei Ringnuten mit O-Ringen, Hartgewebekäfig, eingengte Toleranzen, Ringe aus Cronidur® 30, Wälzkörper aus Siliziumnitrid



Leistungsdaten

| | | | |
|--------------------------|----------------------|-------|---------------------------------|
| C_r | (kN) | 42.3 | dynamische Tragzahl, radial |
| C_{0r} | (kN) | 15.8 | statische Tragzahl, radial |
| C_{ur} | (kN) | 1.49 | Ermüdungsgrenzbelastung, radial |
| n_{G oil} | (min ⁻¹) | 39000 | Grenzdrehzahl, Ölschmierung |
| F_{VL} | (N) | 63 | Vorspannkraft, leicht |
| F_{VM} | (N) | 189 | Vorspannkraft, mittel |
| F_{VS} | (N) | 378 | Vorspannkraft, schwer |
| C_{aL} | (N/μm) | 52 | axiale Steifigkeit, leicht |
| C_{aM} | (N/μm) | 80 | axiale Steifigkeit, mittel |
| C_{aS} | (N/μm) | 107.5 | axiale Steifigkeit, schwer |
| K_{aEL} | (N) | 187 | Abhebekraft, leicht |
| K_{aEM} | (N) | 579 | Abhebekraft, mittel |
| K_{aES} | (N) | 1202 | Abhebekraft, schwer |